

TD₂与 Cu₂O光催化降解对硝基苯酚比较研究*

孟 楠¹ 张爱茜^{1*} 吴海锁² 黄 智¹ 王连生¹

(1 南京大学环境学院, 污染控制与资源化国家重点实验室, 南京, 210093 2 江苏省环境科学研究院, 南京, 210008)

摘要 分别采用自制的纳米 TD₂和 Cu₂O 研究对硝基苯酚的光催化降解。结果表明, 模拟阳光条件下, 100mg•L⁻¹对硝基苯酚水溶液的氧化亚铜催化反应半衰期为 20.0min, 而二氧化钛不具备可见光催化能力; 在 SGY-1 多功能光化学反应器中, TD₂催化降解对硝基苯酚的半衰期是 48.1min。产物分析表明, n-型半导体二氧化钛的光催化反应存在两种降解历程, 生成二羟基硝基苯或脱除硝基, 而 p-型半导体氧化亚铜催化的光降解反应未检出脱硝基产物, 仅检出 1,2-二羟基-4-硝基苯。

关键词 光催化降解, 二氧化钛, 氧化亚铜, 对硝基苯酚。

硝基酚是地表水环境中典型的有毒有机污染物^[1]。研究证实模拟阳光条件下, 50mg•L⁻¹左右的对硝基苯酚水溶液在 200nm Cu₂O 的催化下, 10h 苯环的紫外特征下降达 90%; 高效液相色谱监测显示, 其产物与二氧化钛催化产物有所区别^[2]。

本文分别采用自制的纳米 TD₂和 Cu₂O, 模拟阳光催化降解对硝基苯酚, 分析各自的降解动力学和中间产物, 比较纳米氧化亚铜与纳米二氧化钛光催化剂的降解历程。

1 实验部分

1.1 两种催化剂的制备

于 400mL 浓度为 0.75mol•L⁻¹的氯化钠溶液中加入 0.5g 氯化亚铜, 搅拌均匀后, 继续加入 40mL 浓度 0.25mol•L⁻¹的磷酸钠溶液得到黄色悬浊液。将此悬浊液离心分离, 以去离子水洗涤多次, 以丙酮洗涤三次, 高纯氮气吹干, 将橙黄色粉末状 Cu₂O 粒子置于干燥器待用。

在强烈搅拌下慢慢加入 10mL 钛酸异丁酯至 20mL 无水乙醇中得溶液 A; 另取 7.5mL 高纯水加入 20mL 无水乙醇中, 硝酸调 pH 为 1—1.5 得溶液 B。将溶液 B 缓慢滴入溶液 A 中得白色凝胶, 陈化一天后于烘箱烘干, 研磨, 产物于马弗炉中加热得白色 TD₂粉末, 置于干燥器待用。

1.2 光催化实验

配制浓度为 7.2×10^{-4} mol•L⁻¹ 对硝基苯酚溶液置于仿日光反应器中^[2], 分别以 3g•L⁻¹ 的比例加入自制的 Cu₂O 与 TD₂ 进行光降解试验, 定时取样 5.0mL 高速离心分离, 取上清液进行液相色谱测定。

配制浓度为 7.2×10^{-4} mol•L⁻¹ 对硝基苯酚溶液置于 SGY-1 多功能光化学反应器中, 以 0.4g•L⁻¹ 的比例加入自制的 TD₂ 进行光降解试验, 定时取样 5.0mL 高速离心分离, 取上清液进行液相色谱测定。

高效液相色谱仪 (HP1050 紫外检测器, Kromasil C18 色谱柱, $\phi 4.6\text{mm} \times 250\text{mm}$)。液相色谱分析条件: 流动相为甲醇:水 = 6:4 (V/V), 流速 $0.6\text{mL} \cdot \text{min}^{-1}$, 检测波长 202nm。

1.3 气相色谱-质谱分析^[3]

取 2 份 500mL 的 7.2×10^{-4} mol•L⁻¹ 对硝基苯酚溶液, 按比例分别加入 Cu₂O 和 TD₂, 在两个反应器里各光照 3h 和 2.5h, 以后将反应液移至 50mL 离心管中, 以 $12000 \times g$ 高速离心 30min, 取上层清液 300mL 乙酸乙酯分三次萃取, 合并有机相, 无水硫酸钠干燥, 旋转蒸发至 2mL 进行测定。

气质联用仪 (Micromass GC-TOF)。质谱分析条件: 进样口温度 240°C, 传输线温度 250°C, 离子源能量 70eV, 扫描范围 45—450amu, 升温程序: 60°C 保持 1min, 以 $4^{\circ}\text{C} \cdot \text{min}^{-1}$ 升温至 270°C, 保持 5min, 进样量 1μL。

* 国家自然科学基金 (20477017), 863 项目 (2002AA649130) 和江苏环境工程重点实验室开放课题资助。** 通讯联系人。

2 结果与讨论

2.1 纳米催化剂的表征

如图1所示, X射线粉末衍射谱表明, 所制备的粒子确为氧化亚铜。样品为多晶, 微粒粒径均匀程度较氯化亚铜水解法制备的样品要高, 平均粒径在70—100nm之间。二氧化钛X射线粉末衍射谱表明, 所制备的二氧化钛含有较多的锐钛型和较少量的金红石型二氧化钛。粒子平均尺寸为22nm。

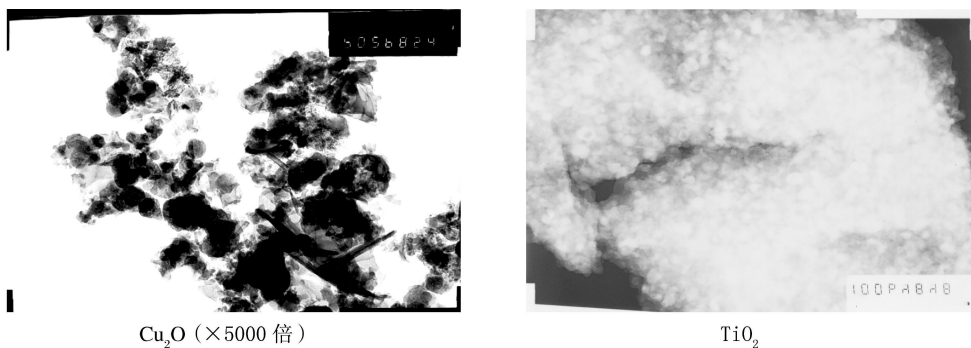


图1 Cu_2O 和 TiO_2 粒子的 TEM 照片

Fig 1 TEM result of Cu_2O particles and TiO_2 particles

2.2 两种催化剂的光催化降解动力学

分别对两种催化剂以 $\ln(C_0/C)$ 对时间 t 拟合可得到直线关系(图2), 其相关系数均大于0.97($n \geq 11$), 说明催化反应符合准一级反应动力学过程, 催化反应半衰期分别为氧化亚铜20.0min和二氧化钛48.1min。 Cu_2O 日光催化降解对硝基苯酚的效果明显优于 TiO_2 。

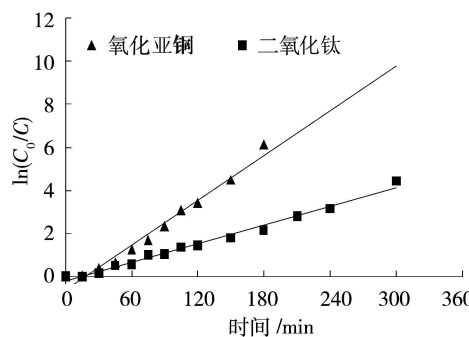


图2 仿日光催化反应动力学

Fig 2 Kinetics of the photocatalytic reaction

2.3 催化剂的光催化降解途径

Paola采用HPLC分析对硝基苯酚光催化反应的中间体, 检测到对苯二酚与1,2-二羟基-4硝基苯^[4]。而Wang等人采用GC-MS进行研究, 检测到对硝基苯酚的光催化反应的中间体为对苯二酚和对苯醌^[5]。本研究光解0h、2h、4h后, 202nm下的色谱图如图4所示, 对硝基苯酚在5.1min出峰。由色谱图可知, 氧化亚铜主要的降解产物相对单一(1,2-二羟基-4硝基苯), 而二氧化钛似乎存在多种历程。GC-MS分析结果证实产物为对苯醌、对苯二酚和对苯醌, 以及1,2-二羟基-4硝基苯。这与Paola等人的结论基本一致, 即有两种降解机制并存, 一是由于羟基的推电子作用与硝基的强拉电子作用, 在对硝基苯酚分子中苯环的2位、6位均容易受到富电子基团的攻击, 生成二羟基硝基苯; 二是溶液中羟基自由基进攻导致硝基离去。而在实验条件下氧化亚铜的反应溶液中未检出对苯醌, 仅检出少量1,2-二羟基-4硝基苯与大量开环产物, 提示由于氧化亚铜为p型半导体, 空穴是多子, 羟基自由基诱导的脱硝基反应不是主导历程, 而硝基酚对于空穴的俘获在一定程度上决定了反应的快慢。

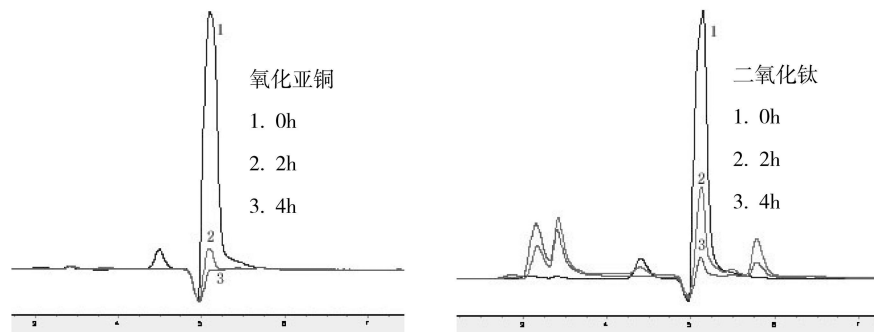


图 3 对硝基苯酚光解后 202nm 下的色谱图

Fig. 3 HPLC chromatogram of *p*-nitrophenol after photodegradation

3 小结

(1) 仿日光反应器中, Cu_2O 可以快速催化降解对硝基苯酚, 半衰期为 20.0 min, 而 TiO_2 在该条件下不具备催化降解能力, Cu_2O 日光催化降解对硝基苯酚的效果明显优于 TiO_2 。

(2) *n*型半导体二氧化钛光催化降解对硝基苯酚反应存在两种降解历程, 生成二羟基硝基苯或脱除硝基。而 *p*型半导体氧化亚铜光催化降解反应未检出脱硝基产物, 仅检出 1,2-二羟基-4-硝基苯。

参 考 文 献

- [1] Federal Register National Recommended Water Quality Criteria [J]. *Fed. Regist.*, 1998, **63**: 67547—67558
- [2] 刘洪禄, 张爱茜, 吴海锁等, 氧化亚铜阳光催化降解对硝基苯酚 [J]. 环境化学, 2004, **23** (5): 490—494
- [3] Mehm et A., O'turanc, Jose Peiroten et al, Complete Destruction of *p*-Nitrophenol in Aqueous Medium by Electro-Fenton Method [J]. *Environ. Sci. Technol.*, 2000, **34**: 3474—3479
- [4] Di Paola A., Augugliaro V., Palmisano L. et al. Heterogeneous Photocatalytic Degradation of Nitrophenols. *Journal of Photochemistry and Photobiology A: Chemistry* [J]. 2003, **155**: 207—214
- [5] Wang Kuohua, Hsieh Yung-hsu, Chen Li-Jinn. The Heterogeneous Photocatalytic Degradation, Intermediates and Mineralization for the Aqueous Solution of Cresols and Nitrophenols [J]. *Journal of Hazardous Materials*, 1998, **59**: 251—260

COMPARISON STUDY ON PHOTOCATALYTIC DEGRADATION OF *p*-NITROPHENOL ASSISTED BY TITANIUM DIOXIDE AND CUPROUS OXIDE

MENG Nan¹ ZHANG Ai-qian¹ WU Hai-suo² HUANG Zhi¹ WANG Lian-sheng¹

(1) State Key Laboratory of Pollution Control and Resource Reuse School of the Environment Nanjing University, Nanjing 210093

2 Jiangsu Research Institute of Environmental Science Nanjing 210008)

ABSTRACT

Fine particles of cuprous oxide (Cu_2O) and titanium dioxide (TiO_2) were prepared and applied as photocatalysts in the heterogeneous photocatalytic degradation of *p*-nitrophenol. Under the irradiation of artificial solar devices, the degradation half-lives of *p*-nitrophenol solutions of $100\text{mg}\cdot\text{L}^{-1}$ proved to be 20.0 min for Cu_2O , while TiO_2 showed no photocatalysis activity under visible light irradiation. Moreover, the GC-MS analysis identified *p*-benzoquinone, hydroquinone and 4-nitrocatechol as major intermediates of TiO_2 -catalysis reaction, which indicating the existence of two degradation pathways, formation of dihydroxynitrobenzene and removal of nitro-group. In the contrast, only 4-nitrocatechol was detected in the solution of Cu_2O -catalysis reaction in the experimental condition.

Keywords solar photocatalytic degradation, titanium dioxide, cuprous oxide, *p*-nitrophenol